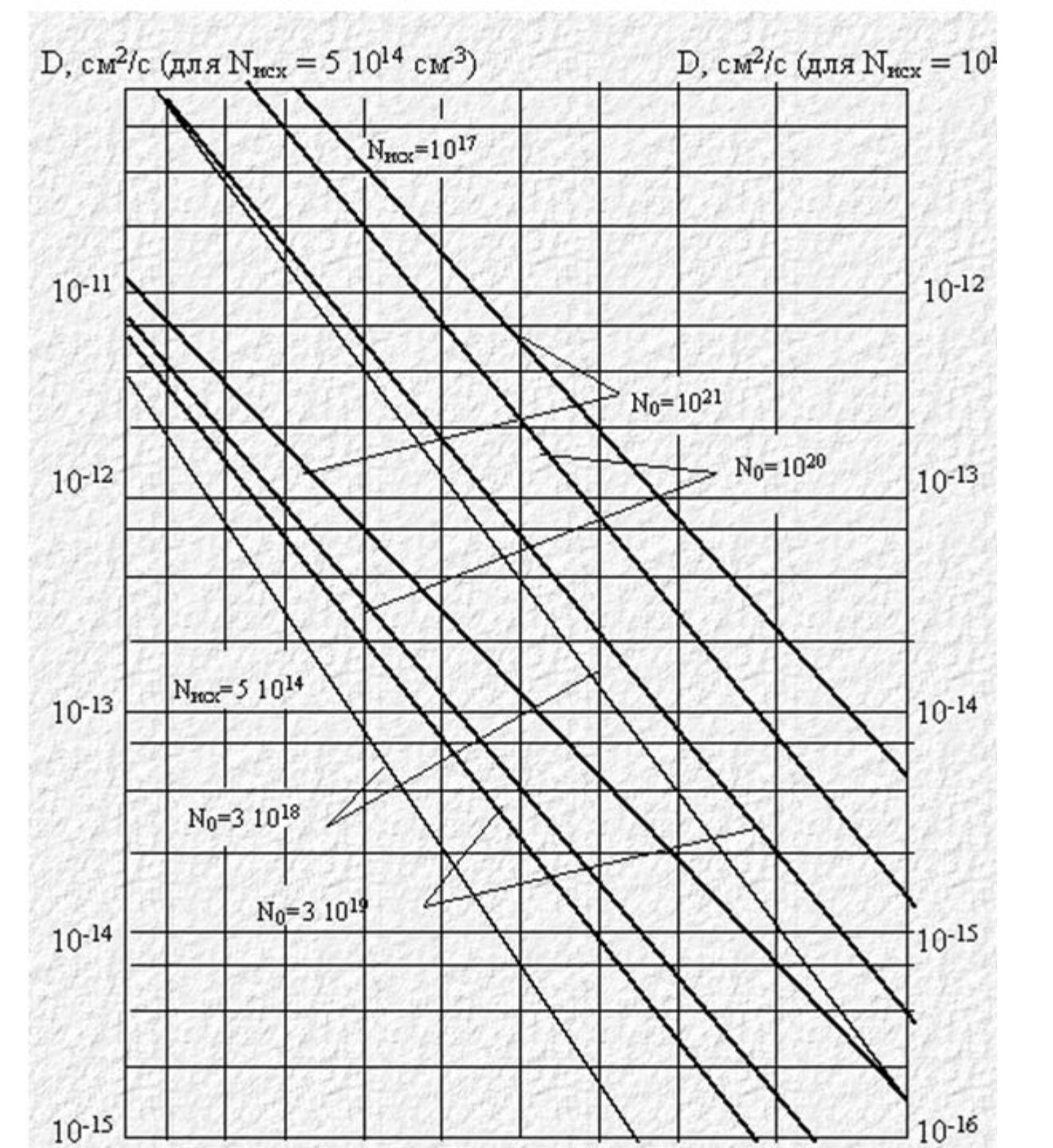
## Диффузия



V	erfcV	V	erfcV	
0.0	1.00000	2.6	2.36×10 <sup>-4</sup>	
0.1	0.88754	2.7	1.343×10 <sup>-4</sup>	
0.2	0.77730	2.8	7.5×10 <sup>-5</sup>	
0.3	0.67135	2.9	4.11×10 <sup>-5</sup>	
0.4	0.57161	3.0	2.21×10 <sup>-5</sup>	
0.5	0.47950	3.1	1.16×10 <sup>-5</sup>	
0.6	0.39614	3.2	6.02×10 <sup>-6</sup>	
0.7	0.32220	3.3	3.05×10 <sup>-6</sup>	
0.8	0.25790	3.4	1.52×10 <sup>-6</sup>	
0.9	0.20309	3.5	7.43×10 <sup>-7</sup>	
1.0	0.15730	3.6	3.55×10 <sup>-7</sup>	
1.1	0.11979	3.7	1.67×10 <sup>-7</sup>	
1.2	0.08969	3.8	7.68×10 <sup>-8</sup>	
1.3	0.06599	3.9	3.48×10 <sup>-8</sup>	
1.4	0.04771	4.0	1.54×10 <sup>-8</sup>	
1.5	0.03389	4.1	6.7×10 <sup>-9</sup>	
1.6	0.02365	4.2	2.86×10 <sup>-9</sup>	
1.7	0.01621	4.3	1.19×10 <sup>-9</sup>	
1.8	0.01091	4.4	4.89×10 <sup>-10</sup>	
1.9	0.00721	4.5	1.96×10 <sup>-10</sup>	

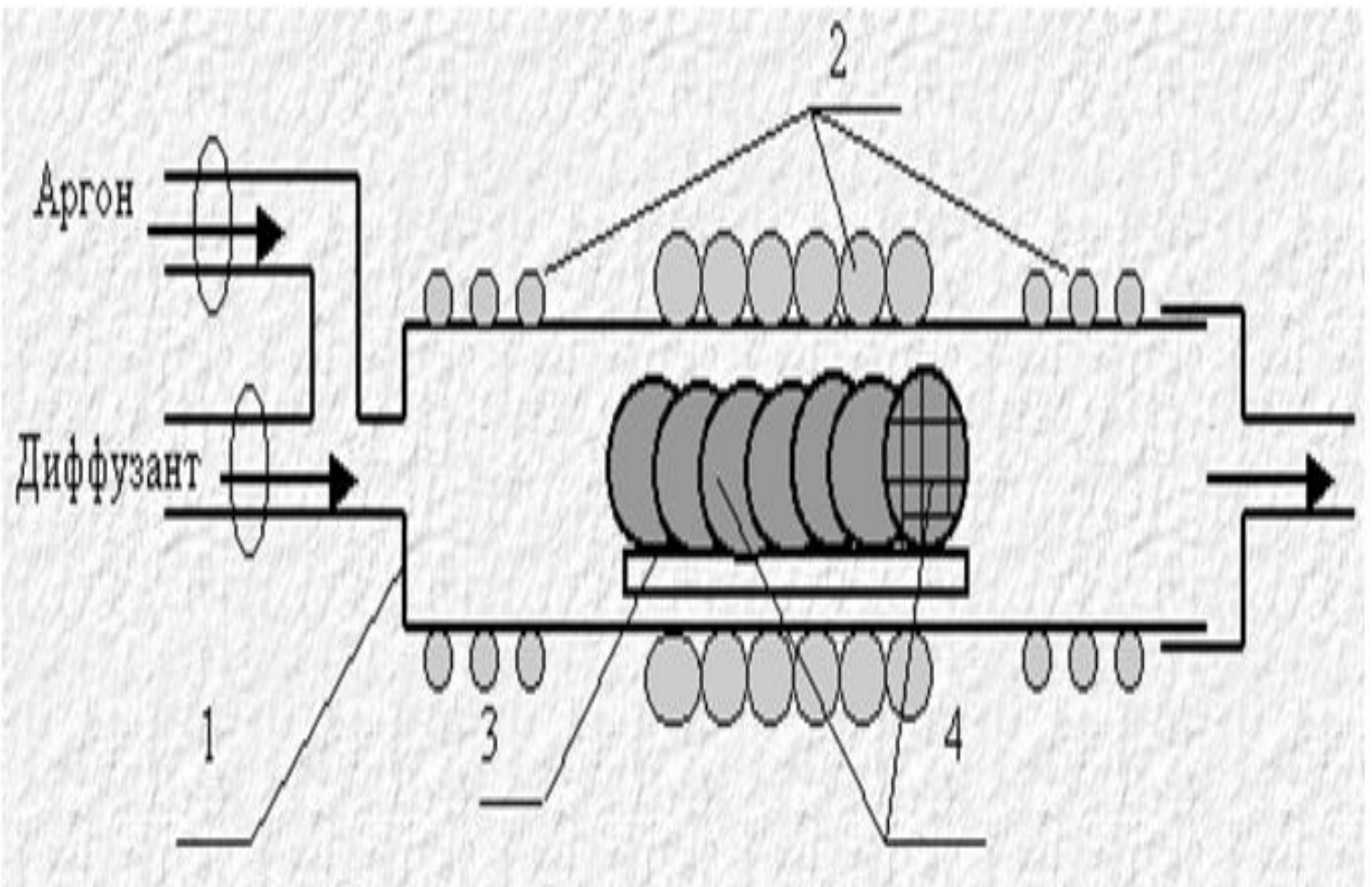
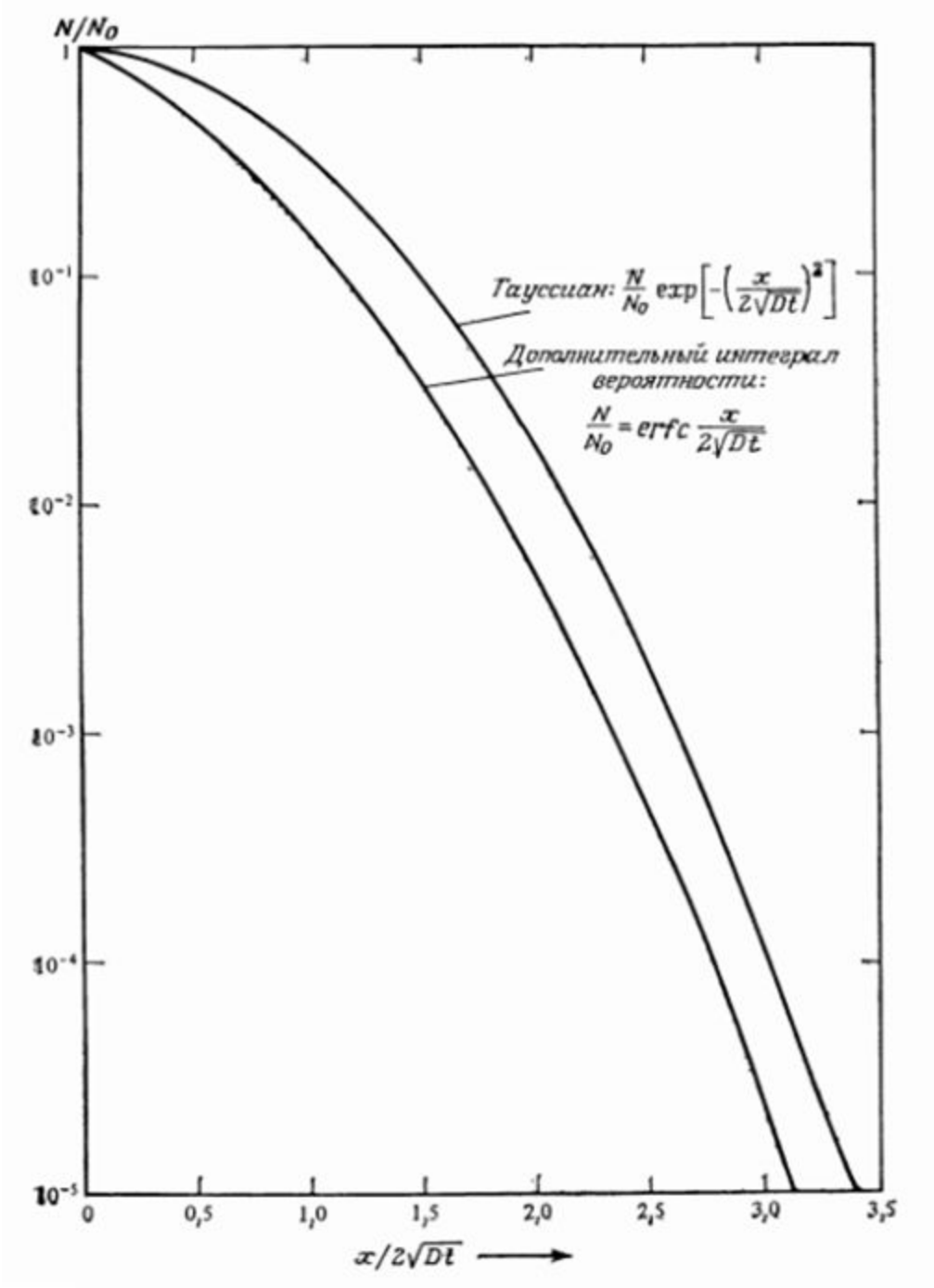
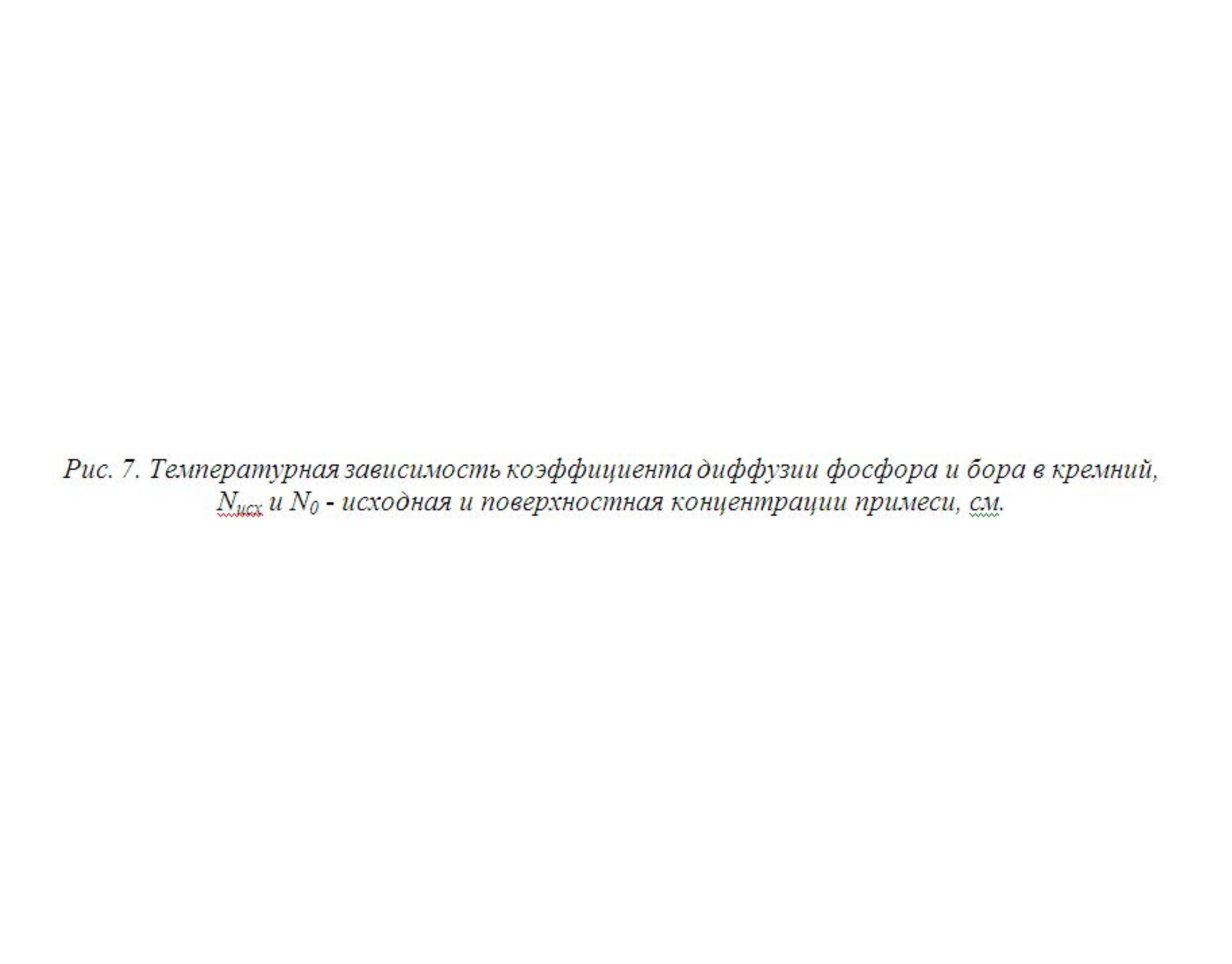


Рис. 10. Схема рабочей камеры диффузионной печи.



Трафики дополнительного интеграла вероятности и функции нор-



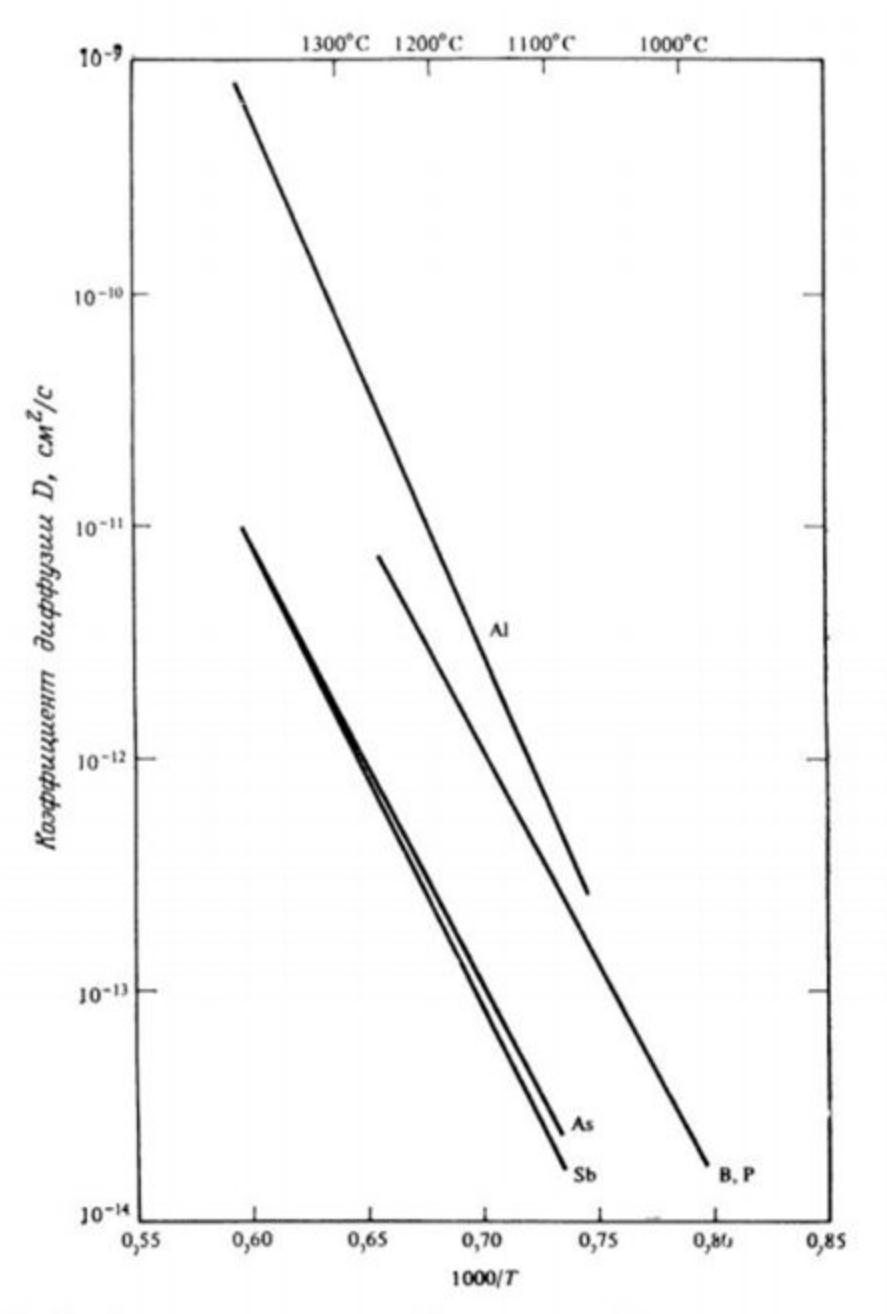
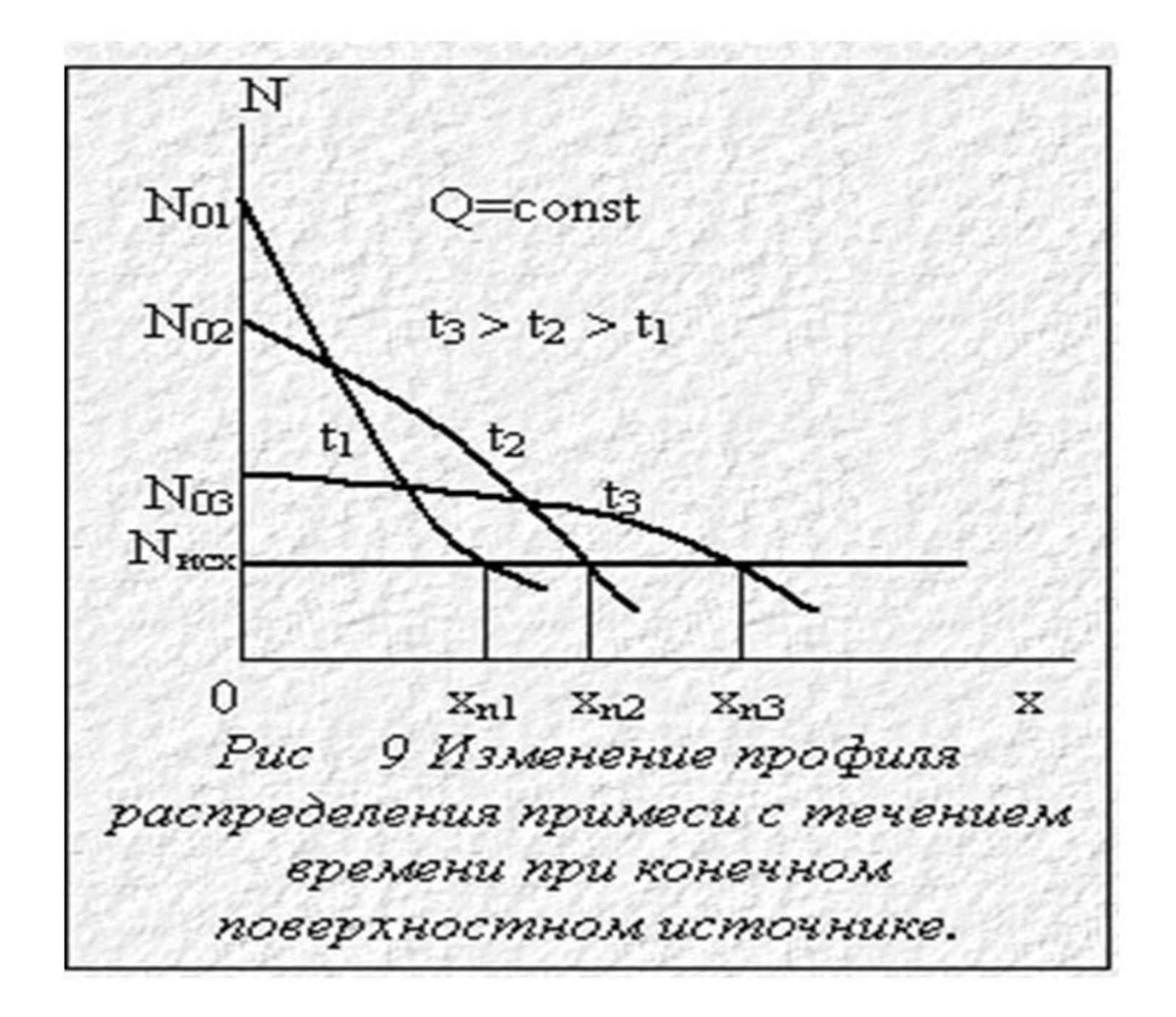
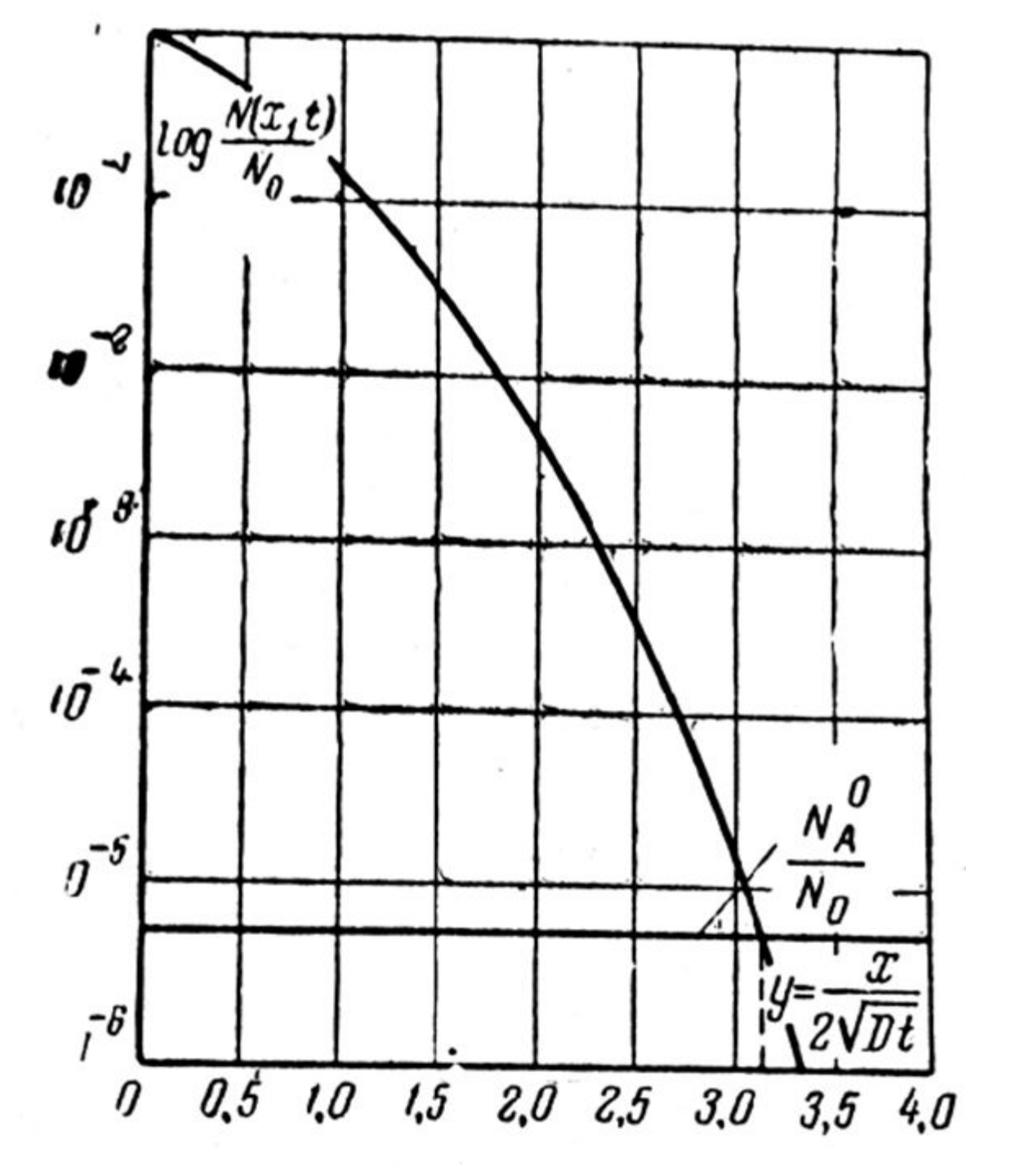


Рис. 4.2. Графики зависимости коэффициентов диффузии для примесей, диффундирующих по вакансиям, от величины, обратной абсолютной температуре. (Из С. S. Fuller and J. A. Ditzenberger, Copyright 1956, Journal of Applied





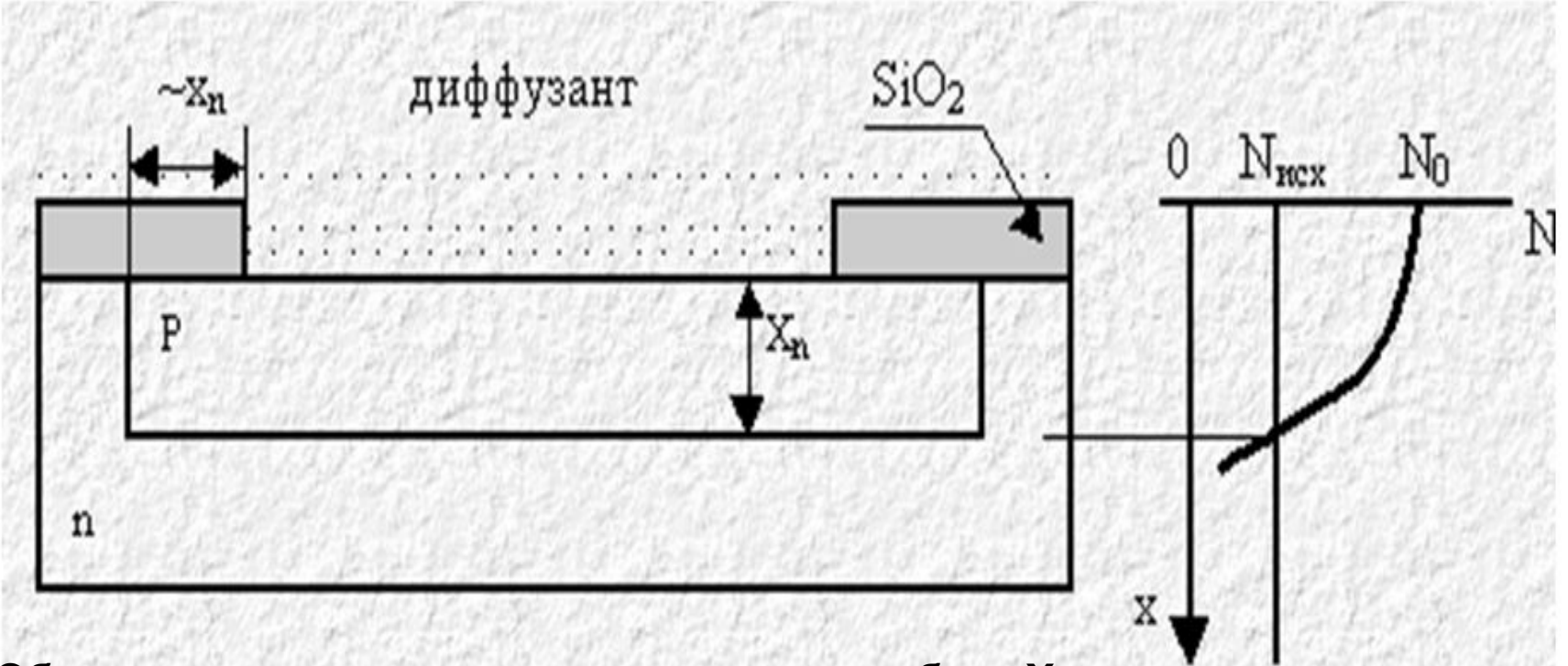


## Значения коэффициентов диффузии и максимальной поверхностной концентрации в кремнии

Элемен <b>т</b>	$D_{0}$	ΔW, ∂ эκ	N <sub>омакс</sub> , м <sup>-3</sup>	Тип про- водимости
В	1,05.10-3	5,9.10-19	1027	p
A1	8,0.10-4	5,56.10-19	7.1024	p
Ga	3,6.10-4	5,6.10-19	1026	P
In	$1.65 \cdot 10^{-3}$	6,26.10-19	1025	P
Tl	$1,65 \cdot 10^{-3}$	6,26.10-19	1023	p
P	$1,05 \cdot 10^{-3}$	5,9.10-19	1028	n
As	$3.2 \cdot 10^{-5}$	5,9.10-19	1026	n
Sb	$1,12 \cdot 10 - 5$	4,58.10-19	1025	n
Bi	1,033.10-1	7,45.10-19	1023	n
Li	$2,3\cdot 10^{-7}$	1.10-19	1025	n
Mn	2,0.10	_	1022	n
Fe	$6,2 \cdot 10^{-7}$	1,39.10-19	3.1022	_
Co	0,2.10	-,	_	
		_	_	
Ni	_	3.10-20	1024	p
Cu	_	0.10	$6 \cdot 10^{22}$	p

## I Іринцип образования р-п

## ΠΔΝΔΥΛΠΩ



Образование p-n-перехода происходит на глубине  $\mathbf{X}_n$ , где концентрация введённой примеси оказывается равной исходной. При термической диффузии (рис.) максимальная концентрация примеси всегда на поверхности ( $\mathbf{N}_n$ ) и монотонно убывает с глубиной.